

# LISTA 5

Thales Freitas Macêdo  
DRE: 115 162 177

30 de dezembro de 2022

## 1 Exercício 1

### 1.a)

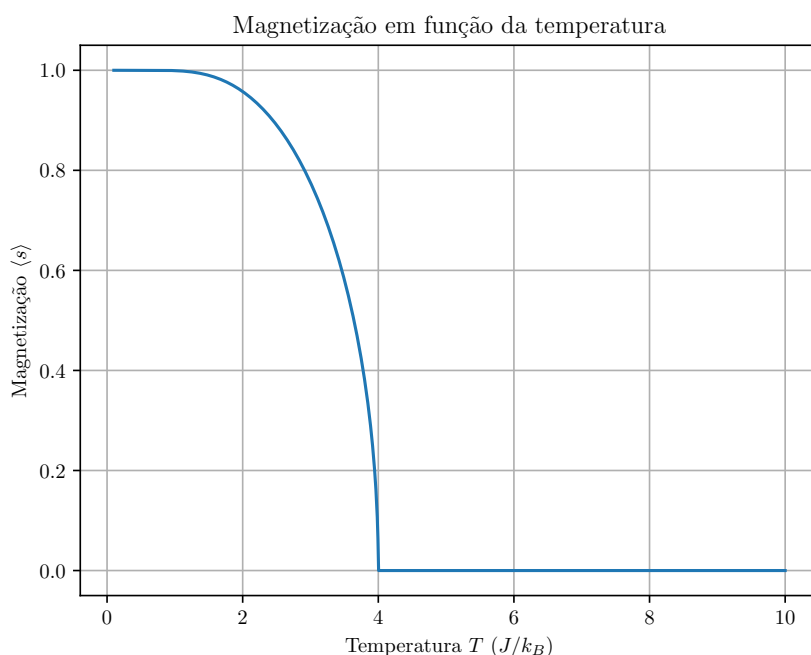


Figura 1: Gráfico da magnetização em função da temperatura, pela solução da equação de campo médio do modelo de Ising na rede quadrada.

Para resolver numericamente a equação

$$\langle s \rangle = \tanh\left(\frac{zJ \langle s \rangle}{k_B T}\right) \quad (1)$$

usei o método de Newton-Raphson. Esse método consiste em aproximar a raiz de uma função  $f(x)$  pela raiz  $x_1$  da reta tangente a  $f$  em uma primeira aproximação  $x_0$  da raiz. Esse processo pode ser repetido, obtendo a fórmula iterativa

$$x_{i+1} = x_i - \frac{f(x_i)}{f'(x_i)} \quad (2)$$

que expressa a aproximação  $x_{i+1}$  em termos da aproximação  $x_i$  anterior.

Para isso considerei a função

$$f(\langle s \rangle) = \langle s \rangle - \tanh\left(\frac{zJ \langle s \rangle}{k_B T}\right), \quad (3)$$

cujas raízes são as soluções desejadas. Para a rede quadrada, o número de primeiros vizinhos é 4, e portanto  $z = 4$ . Considerei  $J > 0$  e expressei a temperatura em unidades de  $J/k_B$ . Assim, encontrei a raiz positiva não-trivial de  $f(\langle s \rangle)$  para múltiplos valores de  $T$ , compreendidos entre 0 e 10.

1.b)

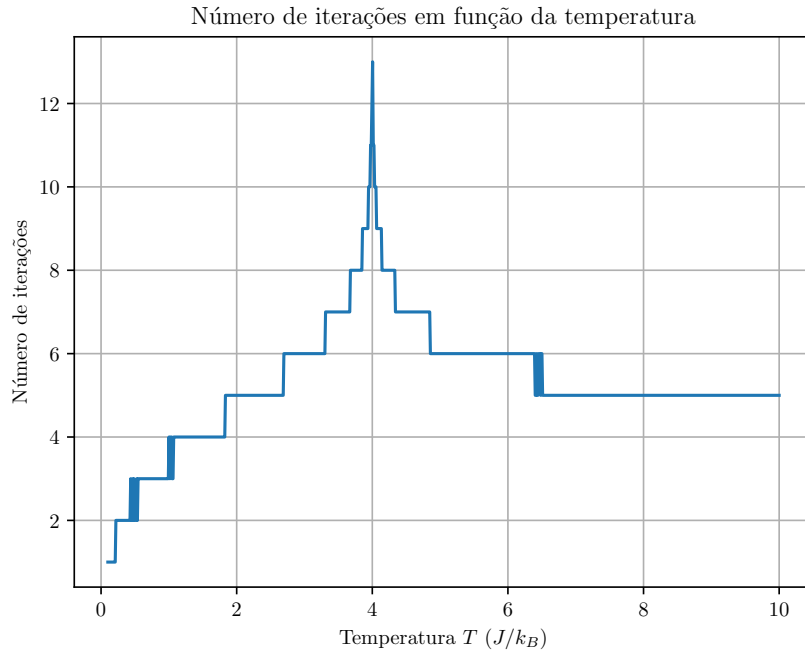


Figura 2: Gráfico do número de iterações em função da temperatura do item anterior.

Para obter as soluções do item anterior, usei a aproximação inicial

$$\langle s \rangle_0 = 5 \quad (4)$$

e a condição necessária para o término das iterações

$$|f(\langle s \rangle_{i+1})| < 1 \times 10^{-8}. \quad (5)$$

1.c)

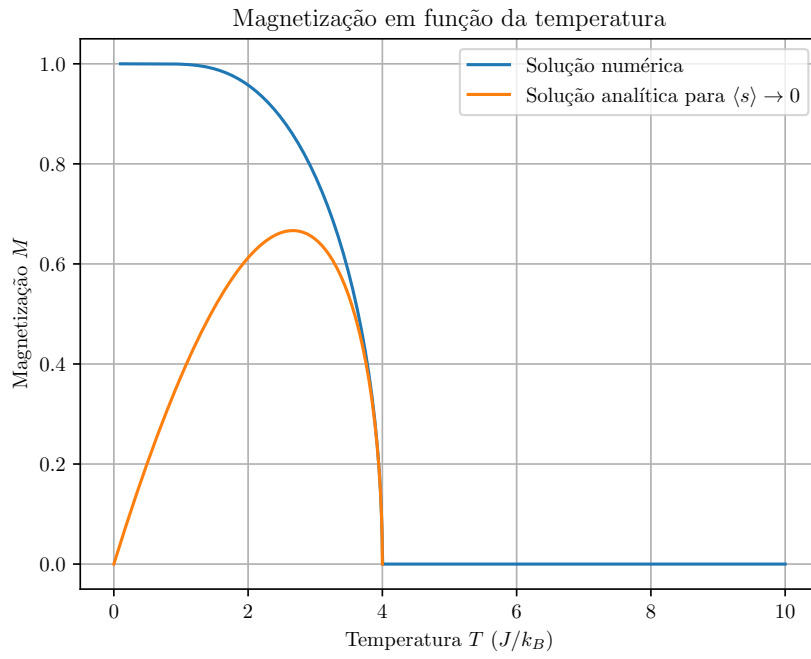


Figura 3: Gráfico da magnetização em função da temperatura.

A solução analítica para pequenos valores de  $\langle s \rangle$  é adequada somente para valores de  $T$  próximos ao valor crítico  $T_c = 4$ .

### 1.d)

Para a rede cúbica, a única diferença é que  $z = 6$ . Assim, os resultados são quase idênticos aos anteriores.

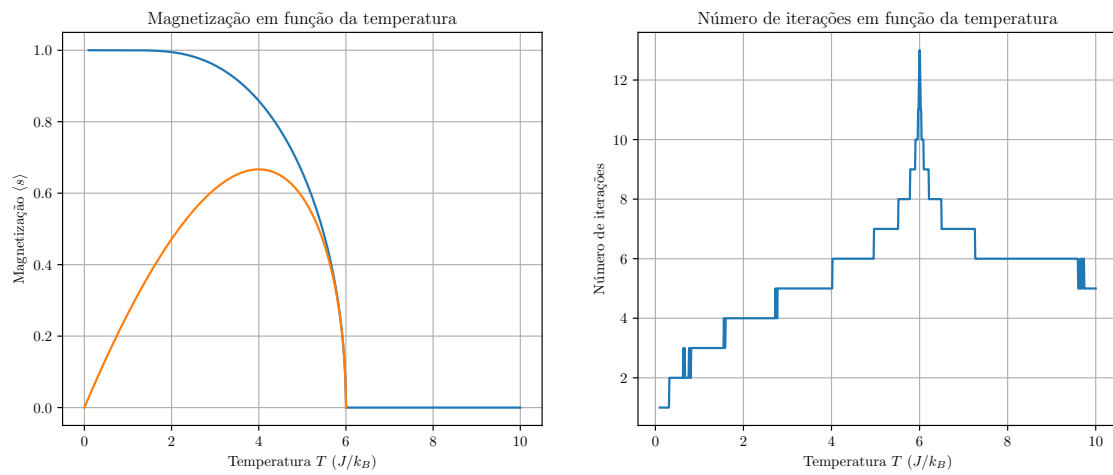


Figura 4: Gráfico da magnetização em função da temperatura.

## 2 Exercício 2

2.a)

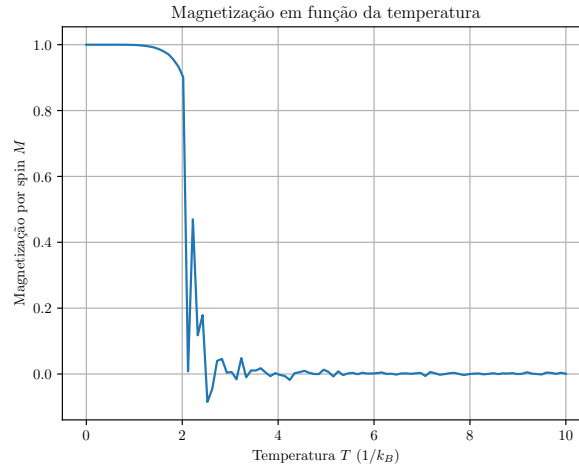


Figura 5: Gráfico da magnetização em função da temperatura.

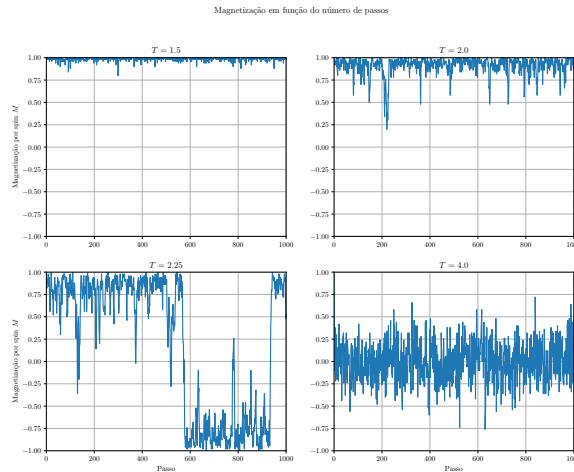


Figura 6: Gráfico da magnetização em função do número de passos.

Para calcular a magnetização, usei o algoritmo de Metropolis para uma rede  $10 \times 10$  e um tempo de simulação de 1000 passos. Começo com um array  $10 \times 10$ , com todos os valores iguais a 1, representando os spins. Escolho um valor para a temperatura. Assim, inicio um passo, que consiste em varrer a rede de spins, coluna por coluna. Para cada spin, determino a energia  $E_0$  da rede, usando a fórmula

$$E = -J \sum_{\langle ij \rangle} s_i s_j, \quad (6)$$

e a energia da rede caso o spin estivesse invertido,  $E_1$ , determino a energia necessária para trocar o spin,  $E_{\text{flip}} = E_1 - E_0$ . Uso condições de contorno periódicas, de modo que considero interações entre os spins da primeira e última colunas, e interações entre os spins da primeira e última linhas. Se a energia  $E_{\text{flip}} \leq 0$ , eu troco o spin de orientação. Se a energia  $E_{\text{flip}} > 0$ , eu gero um número aleatório  $r$  entre 0 e 1. Faço então uma comparação de  $r$  com o fator de Boltzmann da energia  $E_{\text{flip}}$ . Se  $r \leq \exp(-E_{\text{flip}}/k_B T)$ , eu troco o spin de orientação. Caso contrário, eu o mantenho com a mesma orientação. Assim eu gero a rede de spins para o passo seguinte. Repito o procedimento para o número de passos desejado, no caso 1000.

2.b)

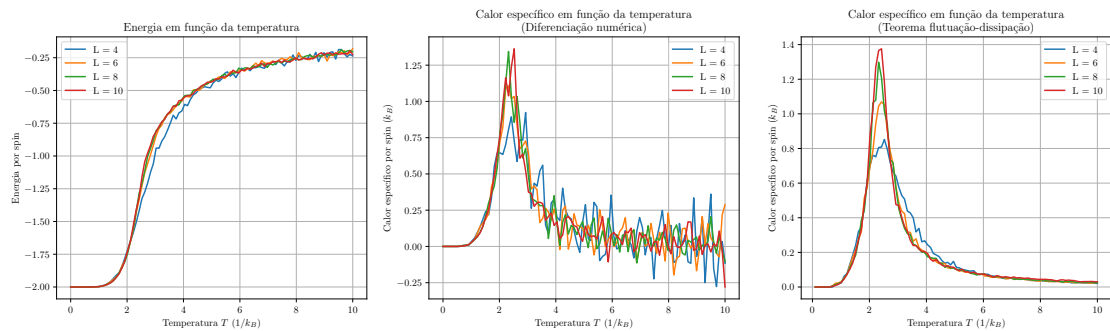


Figura 7: Gráfico do calor específico em função da temperatura para redes de diferentes tamanhos.

Pelos gráficos do meio e da direita na figura 7, o resultado obtido por diferenciação numérica é muito mais ruidoso do que aquele obtido pelo teorema flutuação-dissipação.

## 2.c)

Estimei as temperaturas críticas obtendo a temperatura do calor específico (pelo método da flutuação-dissipação) máximo nos gráficos do item anterior. Os resultados, na tabela 1, são quase metade daquele obtido pelo método do campo médio.

$L$	$T_c$ ( $1/k_B$ )
4	2,53
6	2,42
8	2,32
10	2,42

Tabela 1: Tabela contendo os valores de temperaturas críticas para diferentes tamanhos de rede.

2.d)

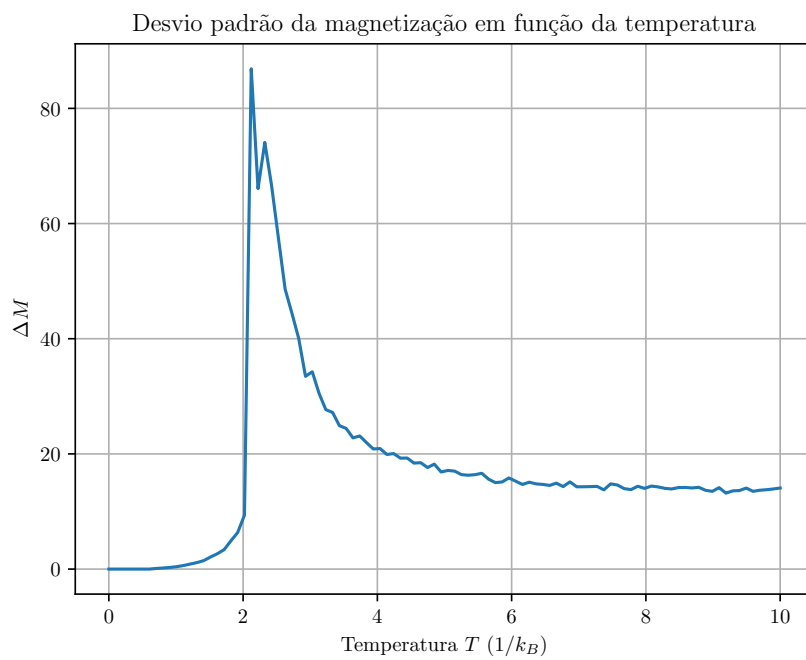


Figura 8: Gráfico do desvio padrão da magnetização em função da temperatura.

Como o desvio padrão da magnetização também apresenta uma singularidade em torno dos mesmos valores de temperatura que os itens anteriores, também podemos obter a temperatura crítica a partir desse gráfico. Estimei a temperatura crítica como a temperatura do desvio padrão máximo. Assim obtive  $T_c = 2,12$ . Esse valor é pouco menor do que os obtidos no item anterior.